

میکروفاسیس و محیط رسوی سازند تیرگان در غرب حوضه رسوی کپه داغ، شمال شرق ایران

عاطفه چنارانی^۱، محمد وحیدی نیا*^۲، سید علی آقا نباتی^۳، سید ابوالفضل حسینی^۳، فریده امیری^۳

۱- گروه زمین‌شناسی، دانشکده علوم، دانشگاه فردوسی مشهد، مشهد، ایران

۲- سازمان زمین‌شناسی و اکتشافات معدنی کل کشور، تهران، ایران

۳- مرکز تحقیقات دیرینه‌شناسی و ژئوشیمی، مدیریت اکتشاف، شرکت ملی نفت ایران، تهران، ایران

(پژوهشی)

پذیرش مقاله: ۱۴۰۰/۳/۱۶ تأیید نهایی مقاله: ۱۳۹۹/۶/۷

چکیده

سازند تیرگان به سن بارمین - آپتین در حوضه رسوی کپه داغ اصولاً از سنگ‌های آهک تشکیل شده است. به منظور مطالعه میکروفاسیس‌ها، محیط رسوی سازند تیرگان در غرب حوضه رسوی کپه داغ، سه برش چینه‌شناسی در حوالی روستای اسطرخی، جوزک و کوهزاو اندازه‌گیری و نمونه‌برداری شده است. ضخامت سازند تیرگان در برش اسطرخی، جوزک و زاو به ترتیب ۱۲۹، ۳۶۲ و ۶۳۹ متر است. در برش‌های روستای اسطرخی و جوزک، سازند شوریجه در زیر سازند تیرگان به صورت هم‌شیب و پیوسته قرار گرفته است. همچنین مرز بالایی سازند تیرگان در برش اسطرخی با سازند سرچشم‌به صورت هم‌شیب و پیوسته اما در برش جوزک به صورت گسله با سازند آبدراز است. در برش کوه زاو، مرز زیرین سازند تیرگان با سازند زرد به صورت پیوسته و هم‌شیب است ولی مرز بالایی آن به صورت پوشیده و نامشخص می‌باشد. براساس مطالعات پتروگرافی در منطقه مورد مطالعه، منجر به شناسایی ۱۷ میکروفاسیس مختلف مربوط به ۴ کمربند رخساره‌ای پهنه جزرومدی، لاغون، سد و دریای باز و ۲ پتروفاسیس ساب ارکوز و کوارتزارنایت در این منطقه شده است. براساس مشاهدات صحراوی و مطالعات پتروگرافی و مقایسه تغییرات عمودی و جانبی رخساره‌ها مجموعه رخساره‌ای کربناته در یک رمپ کربناته هموکلاین در حالیکه لیتوفاسیس‌های سیلیسی کلاستیک در شرایطی که نرخ ورود آواری‌ها زیاد بوده در محیط‌های جزرومدی نهشته شده‌اند.

واژه‌های کلیدی: سازند تیرگان، حوضه رسوی کپه داغ، محیط رسوی، میکروفاسیس.

Moussavi-Harami and Brenner, 1990). حوضه کپه داغ دارای میادین گازی خانگیران و گنبدی است که به ترتیب در سال‌های ۱۹۶۹ و ۱۹۶۹ کشف شده‌اند و به طور عمده از سازند مزدوران ژوراسیک بالایی تشکیل شده‌اند. سازند تیرگان به سن بارمین - آپتین از سنگ آهک-های ضخیم لایه تا توده‌ای الیتی و بیوکلستی با میان لایه‌های ناچیزی از سنگ آهک‌های مارنی، مارن و شیل آهکی تشکیل شده است. با توجه به اینکه عمده مطالعات سازند تیرگان مربوط به بخش‌های شرقی حوضه رسوی کپه داغ است (هاشمی، ۱۳۸۵؛ مرتضوی، ۱۳۸۶)، لذا در این تحقیق این سازند در غرب حوضه بررسی شده است. هدف از انجام این مطالعه، شناسایی و تفکیک رخساره‌های سنگی، تفسیر محیط رسوگذاری سازند تیرگان در برش‌های مورد مطالعه است.

منطقه مورد مطالعه

موقعیت جغرافیایی و راههای دسترسی به برش‌های مورد مطالعه

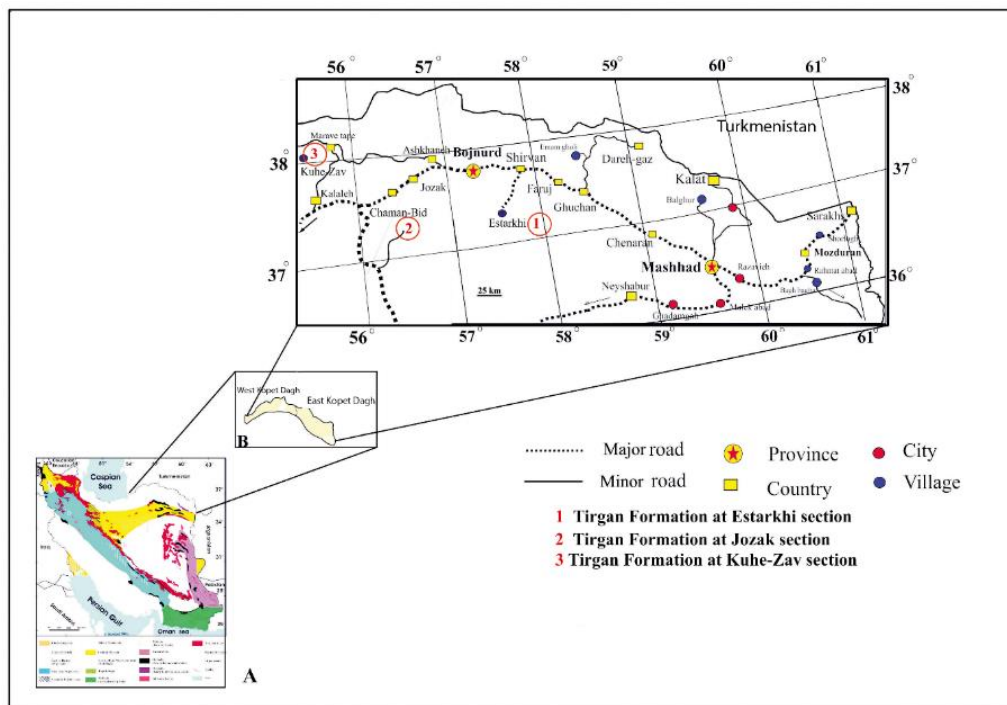
به منظور بررسی محیط رسوی سازند تیرگان، سه برش چینه‌شناسی به شرح ذیل مورد برداشت و نمونه‌برداری قرار گرفت. برش اسطرخی به مختصات جغرافیایی ذکر شده در جدول ۱ در ۳۰ کیلومتری جنوب شیروان (روستای اسطرخی) قرار دارد. ضخامت سازند تیرگان در این برش ۱۲۹ متر بوده و سازند مورد مطالعه به صورت هم شیب و پیوسته در بالای سازند شوریجه و در زیر سازند سرچشممه قرار گرفته است. برش جوزک به مختصات جغرافیایی ذکر شده در جدول ۱ در ۴۰ کیلومتری باختری شهرستان بجنورد قرار گرفته است. ضخامت سازند تیرگان در برش مذکور ۳۶۲ متر بوده و به صورت هم‌شیب و پیوسته در روی سازند شوریجه و به صورت ناپیوستگی فرسایشی در

مقدمه

حوضه‌های رسوی مناطقی فرونژست یافته از سطح زمین بوده که بر هم کنش فاکتورهای مختلف چینه‌نگاری سکانسی در مقیاس‌های مختلف زمانی و مکانی، پاسخی بر ساختار چینه‌شناسی موجود در آنهاست (Kikichi et al, 2018; LI et al, 2018a, 2019; Valle et al, 2019; Allen and Allen, 2013; Marangon et al, 2011; Adachi et al, 2004). یکی از اهداف شناسایی رخساره‌ها، بررسی نوع تغییرات و نحوه توزیع عمودی و جانبی مجموعه‌های رخساره‌ای است. نحوه جایگیری مجموعه‌های رخساره‌ای می‌تواند نشان دهنده تعییرات کوچک و بزرگ در الگوهای محیطی نظیر آب و هوا، شدت جریان آب و تغییرات نسبی سطح تراز آب دریا باشد (Bachman and Hirsch, 2006). کمربند کوهزایی کپه‌داغ یک حوضه درون قاره‌ای بوده (Allen and Allen, 2013) که از شرق دریای خزر تا شمال شرق ایران، ترکمنستان و شمال افغانستان گسترش دارد (Buryakovskiy et al, 2001; Afshar-Harb, 1979). این کمربند پی سنگ توران را از ایران مرکزی جدا می‌کند (Alavi et al, 1997). پس از بسته شدن پالئوتیس در ژوراسیک میانی (Alavi et al, 1997) و بازشدن نئوتیس در طی ژوراسیک پیشین تا میانی (Buryakovskiy et al, 2001) حوضه کپه داغ تحت یک رژیم کششی و در طی ژوراسیک پیشین Garzanti and (1979) که می‌توان به پنج سکانس اصلی پیشرونده- میانی تشکیل شده است (Gaetani, 2002). بیش از ۶۰۰۰ متر از سنگ‌های رسوی در محدوده سنی ژوراسیک میانی تا میوسن در این حوضه نهشته شده اند (Afshar-Harb, 1979) که می‌توان به پنج سکانس اصلی پیشرونده- پسرونده اختصاص داد (Moussavi-Harami and Brenner, 1990). کربنات‌ها و سنگ‌های سیلیسی آواری ژوراسیک- سنوزوئیک به طور دگرگشیب سنگ‌های پالئوزوئیک (پی سنگ) و تریاس را

متر می‌باشد. لازم به ذکر است که سطح تماس فوقانی سازند مورد مطالعه در این برش به صورت پوشیده بوده و سطح تماس زیرین آن با سازند زرد به صورت هم شیب و پیوسته است (شکل ۱ و ۲).

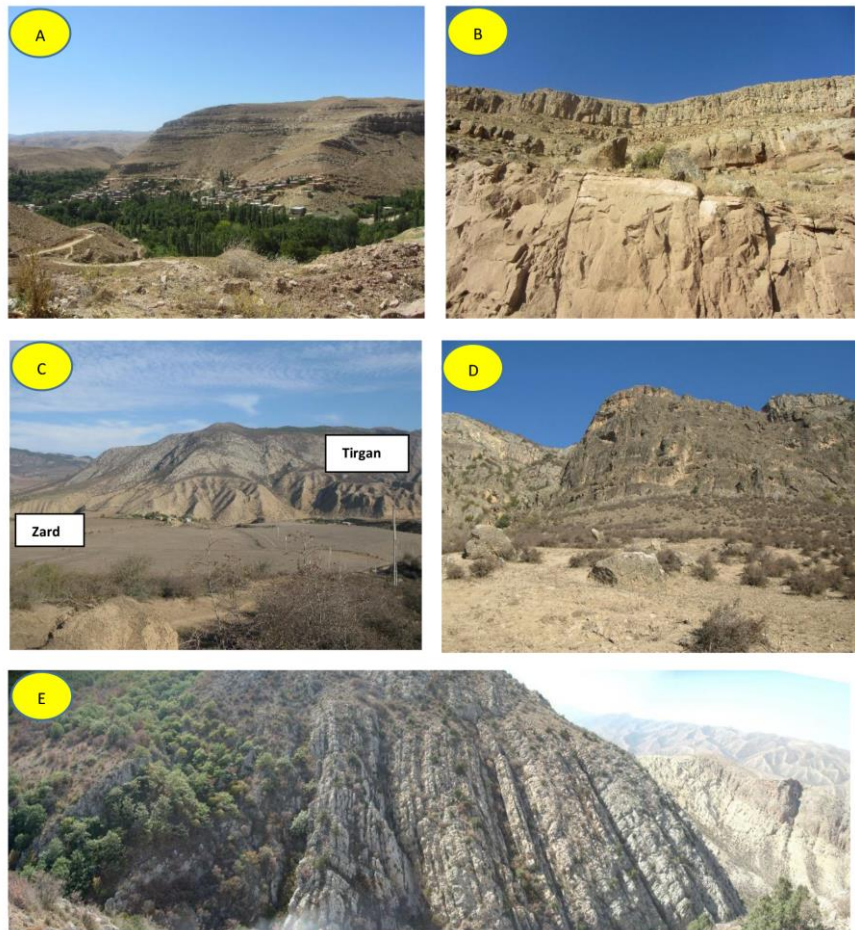
زیر سازند آبدراز قرار گرفته است. برش کوه زاو به مختصات جغرافیایی ذکر شده در جدول ۱ در روستای زاو و در نزدیکی گرگانرود از توابع بخش پیشکمر و در فاصله ۴۵ کیلومتری شهر کلاله واقع شده است. ضخامت سازند تیرگان در این برش ۶۳۹



شکل ۱: موقعیت جغرافیایی و راه دسترسی به برش‌های مورد مطالعه

جدول ۱: مختصات جغرافیایی سازند تیرگان در برش‌های مورد مطالعه

مختصات جغرافیایی		برش مورد مطالعه
عرض شمالی	طول شرقی	
۳۷°۱۱'۲۹"	۵۷°۵۱'۳۱"	برش استرخی
۳۷°۲۴'۵۵/۸"	۵۶°۴۲'۲۵"	برش جوزک
۳۷°۳۱'۲۰"	۵۵°۴۵'۱۰/۶"	برش کوه زاو



شکل ۲: (A) نمای کلی سازند تیرگان در برش روستای اسطرخی، دید به سمت شمال غرب، (B) آهکهای ضخیم لایه سازند تیرگان در برش روستای اسطرخی، دید به سمت شمال، (C) نمایش سطح تماس زیرین سازند تیرگان با سازند زرد در برش کوه زاو، غرب حوضه رسوی کپه داغ، دید به سمت شمال، (D) نمای کلی سازند تیرگان در برش کوه زاو، غرب حوضه رسوی کپه داغ، دید به سمت شمال غرب، (E) نمای کلی سازند تیرگان در برش جوزک، دید به سمت شمال شرق.

بررسی محیط رسوی مورد مطالعه قرار گرفتند. رخساره رسویی به روش فلوگل (Flugel, 2010) نامگذاری شد. مقاطع نازک کربناته پس از رنگ آمیزی توسط محلول آلیازارین قرمز و فروسیانید پتابسیم (Dickson, 1966) به روش دانهام (Dunham, 1962) نامگذاری شده‌اند. دسته‌بندی رخساره‌ها بر مبنای طبقه‌بندی ویلسون (Wilson, 1975)، کاروزی (Carozzi, 1989) و فلوگل (Flugel, 2010) انجام شده است. پتروفاسیس‌ها به روش فولک (Folk 1980) نامگذاری شدند.

مواد و روش‌ها

این پژوهش در قالب سه برش سطحی با نمونه برداری سیستماتیک (Tucker and Wright, 1990) در فواصل ۲ متری و در مناطقی با تغییرات شدید لیتولوژی و رخساره‌ای با فواصل کمتر انجام گرفت. در مجموع تعداد ۵۲۴ نمونه سنگی برداشت شد. نمونه‌های سنگی جهت تهیه برش نازک به کارگاه زمین‌شناسی دانشگاه فردوسی مشهد انتقال داده و مقاطع نازک تهیه شد. مقاطع نازک پس از آماده‌سازی، توسط میکروسکوپ پلاریزان جهت

اندازه تا حداقل ۱ میلیمتر در این ریزرساره وجود دارد (شکل ۳).

ریزرساره A2 (وکستون بایوکلاستی): این ریزرساره در صحرا به صورت نازک تا متوسط لایه تشکیل شده است. در این ریزرساره خرده‌های اسکلتی شامل اربیتولین‌ها دارای فراوانی ۵ تا ۱۰ درصد با اندازه $1/5$ تا $1/9$ ، دو کفه‌ای‌ها با فراوانی ۵ درصد و اندازه ۱ میلیمتر، برآکیوپودها با فراوانی ۱۰ درصد و بزرگی $0/5$ به همراه سایر خرده‌های اسکلتی از قبیل آکینو درم و بریوزوئر با فراوانی مجموع ۴ درصد می‌باشند. اربیتولین‌ها دارای شکل کشیده و دیسکی هستند (شکل ۳).

ریزرساره A3 (پکستون- وکستون بایوکلاستی): ریزرساره A3 در صحرا به صورت متوسط لایه دیده می‌شود. در این ریزرساره مقادیر فراوان گل آهکی که ۲۵ تا ۵۰ درصد خرده اسکلتی در آن پراکنده است به چشم می‌خورد. عمدۀ خرده‌های اسکلتی را اربیتولین‌های دیسکی شکل با فراوانی ۳۰ درصد و اندازه ۲ میلیمتر، دو کفه‌ای با فراوانی ۱۳ درصد و اندازه $0/7$ میلیمتر و سایر آلوکم‌های اسکلتی (آکینویید، برآکیوپود) به فراوانی ۷ درصد می‌سازند. بافت این ریزرساره از وکستون تا پکستون تغییر می‌کند (شکل ۳، c).

ریزرساره A4 (پکستون بایوکلاستی برآکیوپود دار): این ریزرساره در صحرا به صورت متوسط تا ضخیم لایه رخنمون دارد. آلوکم اصلی در این ریزرساره برآکیوپود با فراوانی ۳۰ درصد در اندازه $1/5$ میلیمتر است که در زمینه‌ای میکراتی در تماس با یکدیگر می‌باشند. خرده‌های اسکلتی دیگری از جمله آکینویید، دوکفه‌ای، بریوزوئر و مقادیری فرامینیفر بنیک در مجموع با فراوانی ۲۲ درصد در اندازه $0/5$ تا 1 میلیمتر وجود دارند (شکل ۳).

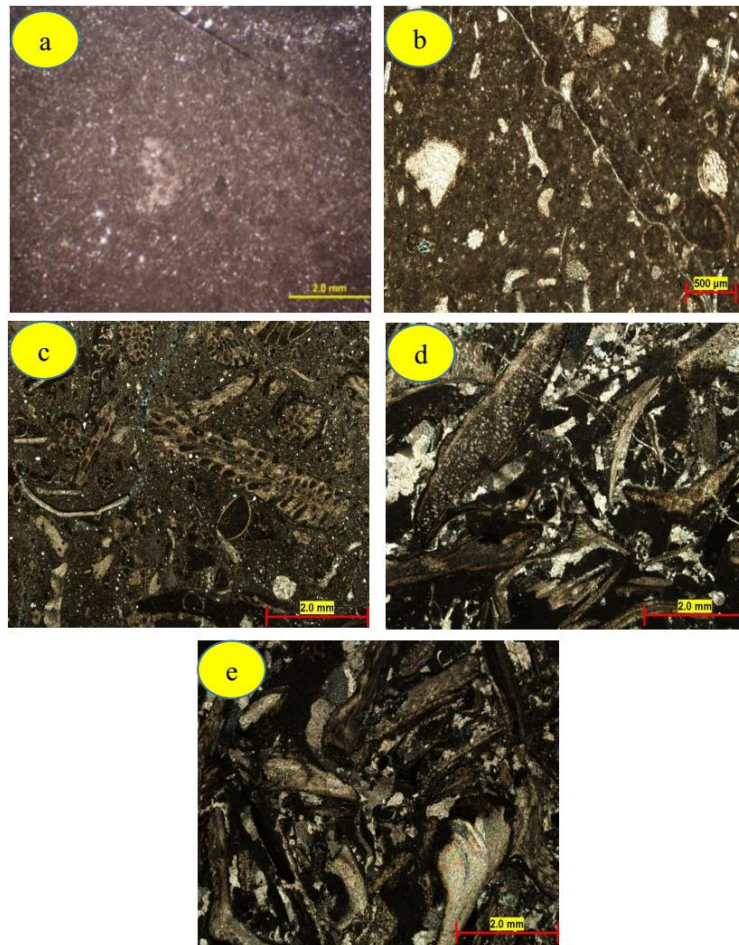
بحث و نتایج

رساره‌ها و کمربندهای رسوبی موجود در برش‌های مورد مطالعه

مطالعه رساره‌های میکروسکوپی به همراه مشاهدات صحرایی اطلاعاتی جهت مطالعه روند تکاملی محیط دیرینه و نوسانات سطح آب دریا ارائه می‌کند (Cadjenovic et al, 2008; Heldt et al, 2008). همچنین کمربندهای رساره‌ای توسعه ویژگی‌های سنگ‌شناسی اجزای اسکلتی و غیر اسکلتی و بافت مشخص شده و نشان دهنده شرایط حاکم بر محیط رسوبگذاری است (Betzler et al, 2006; Bachmann and Hirisch, 2006).

تغییرات جانبی و عمودی در کمربندهای رساره ای به علت اختلاف در الگوهای محیطی، تاثیر فعالیت‌های تکتونیکی، ورود رسوبات اواری و تغییرات سطح آب دریا صورت می‌گیرد. بررسی مشاهدات صحرایی و همچنین تجزیه و تحلیل پتروگرافی و میکروسکوپی نهشته‌های برش‌های مورد مطالعه، منجر به شناسایی ۱۷ ریزرساره کربناته مربوط به دریای باز، رساره‌های سدی، لاغون، پهنه جزو مردمی و ۲ پتروفالسیس شد که به ترتیب از سمت دریا به خشکی به شرح زیر می- باشند:

مجموعه رساره‌ای A: این مجموعه از ۴ ریزرساره به شرح زیر تشکیل شده است.
ریزرساره A1 (مادستون): این ریزرساره در صحرا به صورت نازک لایه و به طور عمدۀ از میکراتی تشکیل شده است. در این ریزرساره خرده‌های اسکلتی دارای کمتر از ۵ درصد و به صورت پراکنده است که شامل اربیتولینها ۲-۴ درصد و اندازه $0/8$ میلیمتر، پوسته‌های دوکفه‌ای ۲ درصد و با اندازه $0/5$ تا 1 میلیمتر و برآکیوپود با فراوانی ۲ درصد با



شکل ۳: تصاویر میکروسکوپی ریزرسارهای دریایی باز: a) مادستون، b) وکستون بایوکلاستی، c، d) پکستون-وکستون بایوکلاستی، e) پکستون بایوکلاستی برآکیوپوددار.

برآکیوپودها نیز موجودات دریایی بوده و در دو بستر نرم و سخت زندگی می‌کنند (Brandao et al, 2010; Slootman et al, 2016) با توجه به وجود مقادیر فراوان از موجودات استنوهالین نظیر بریوزوئر، اکینودرم و برآکیوپود (Sequero et al, 2018; Guo et al, 2018) این مجموعه رخسارهای در یک محیط با شوری نرمال مثل دریای باز تشکیل شده است. فرامینیفرهای بزرگ بنتیک مثل اربیتولین در این مجموعه رخسارهای دیده می‌شوند که از انواع دیسکی شکل و کاملاً کشیده می‌باشند. مورفولوژی اربیتولین‌ها (نسبت عرض به ارتفاع) به عمق محیط رسوبی مربوط می‌شود. نسبت بالای عرض به ارتفاع

تفسیر رخساره A: در این مجموعه رخسارهای آلوکم‌های مربوط به محیط دریایی باز به طور نسبتاً فراوان به چشم می‌خورد که این آلوکم‌ها عمدتاً از نوع برآکیوپود، اکینودرم، اربیتولین، بریوزوئر و دوکفه‌ای می‌باشند. این موجودات عمدتاً حساس به شوری هستند و شرایط مساعد برای حفظ آنها یک محیط دریایی باز می‌باشد (Villson, 1975; Tucker and Wright, 1990; Abdel-Fattah et al, 2018; LI et al, 2018a, 2019; Valle et al, 2019). اکینودرم‌ها موجودات منحصراً دریایی هستند ولی بعضی از انواع متحرک گاهی به محدوده لاغون و خلیج دهانه‌ای در آبهای لب‌شور دیده می‌شوند. ریزرسارهای دارای اکینودرم بیشتر مربوط به محیط دریایی باز می‌باشند (Dill

دیگری نظیر براکیوپود و اکینودرم نیز در حدود ۷ تا ۱۰ درصد و به صورت خردشده در اندازه ۱/۵ تا ۱ میلیمتر در بین سایر اجزا دیده می‌شود. ۲ تا ۳ درصد جلبک سیز داسی کلاداسه آ در این ریزرساره دیده می‌شود که بیشتر حالت خردشده دارند. فضای بین دانه‌ها توسط سیمان اسپاریتی اشغال شده است (شکل (b)).

ریزرساره B3 (گرینستون ائیدی): این ریزرساره در صحرا به صورت متوسط تا ضخیم لایه رخمنون دارد و دارای لامیناسیون مورب است. آلوکم اصلی تشکیل دهنده این ریزرساره ائیدها می‌باشدند. ائیدها در اندازه بین ۰/۵ تا ۱/۷ میلیمتر بوده و ۴۵ درصد این ریزرساره را به خود اختصاص داده است. فابریک ائیدها به صورت شعاعی، مماسی و یا ترکیبی از هر دو می‌باشد، ولی فراوانی بیشتر مربوط به ائیدهای با فابریک مماسی است. هسته ائیدها از دانه‌های مختلفی تشکیل شده است که مهم‌ترین آنها پلوبیدها و فرامینیفرهای کوچک بنتیک نظیر میلیولید هستند. ائیدها اکثراً یک هسته دارند و ائید با هسته مرکب به ندرت در نمونه‌ها دیده می‌شود. علاوه بر این، اینتراکلست با فراوانی ۱۶ درصد و اندازه ۱ تا ۲ میلیمتر و همچنین فرامینیفرهای بنتیک نظیر اربیتولین با فراوانی ۶ درصد و اندازه ۱ تا ۱/۷۵ میلیمتر در این ریزرساره یافت می‌شوند. خرددهای براکیوپود در اندازه ۰/۵ تا ۰/۹ میلیمتر و فراوانی ۹ درصد از دیگر اجزاء اسکلتی موجود در این ریزرساره است. فضای بین دانه را کلسیت اسپاری متوجه بلور پر کرده است (شکل (c)).

رساره B4 (باندستون): این ریزرساره در صحرا به صورت متوسط تا ضخیم لایه رخمنون دارد. اجزاء اصلی تشکیل دهنده این ریزرساره مرجان شاخه‌ای و مرجان تجمعی (۵۰ درصد) است که به صورت محلی بین سنگ آهک‌های نازک تا متوسط لایه تیره رنگ شناسایی شده است و همچنین به صورت

(اربیتولین‌های صفحه‌ای یا دیسکی) مربوط به محیط‌های با عمق بیشتر و اشکال مخروطی (نسبت پایین عرض به ارتفاع) مربوط به محیط‌های با عمق کمتر می‌باشد (Sequero et al., 2018; Guo et al., 2018). از آنجا که اربیتولین‌های موجود در این مجموعه رساره‌ای از نوع دیسکی شکل هستند، تشکیل این مجموعه رساره در یک محیط دریایی باز رخ داده است.

مجموعه رساره‌ای B: این مجموعه از ۵ ریزرساره به شرح زیر تشکیل شده است.
رساره B1 (گرینستون بایوکلاستی): این ریزرساره در صحرا به صورت متوسط تا ضخیم لایه رخمنون دارد. در این ریزرساره انواع دانه‌های اسکلتی وجود دارند که توسط سیمان کلسیت اسپاری به هم متصل شده‌اند. عمدۀ اجزا را خردۀ‌های براکیوپود، دوکفه‌ای و اکینودرم تشکیل می‌دهند. علاوه بر این دانه‌های غیراسکلتی نظیر ائید و اینتراکلست در این ریزرساره وجود دارند. اجزای اصلی در این ریزرساره خردۀ‌های براکیوپود در اندازه ۱ تا ۲ میلیمتر با فراوانی ۱۵ تا ۲۵ درصد فراوانی، دو کفه‌ای در اندازه ۰/۸ تا ۱ میلیمتر با فراوانی ۸ تا ۱۰ درصد، اکینودرم در اندازه ۰/۵ تا ۰/۷ میلیمتر با فراوانی ۷ تا ۱۲ درصد و اربیتولین‌های صفحه‌ای شکل تا اندازه ۲ میلیمتر با فراوانی حدود ۱۰ درصد را تشکیل می‌دهد. همچنین در این ریزرساره آلوکم‌های غیر اسکلتی همچون ائیدها با فابریک مماسی در اندازه ۰/۴ تا ۰/۸ با فراوانی ۱۰ درصد به همراه اینتراکلاست‌ها با اندازه ۲ میلیمتر و فراوانی ۸ تا ۱۰ درصد دیده می‌شود (شکل (a)).

ریزرساره B2 (گرینستون پلوبیدی): این ریزرساره در صحرا به صورت ضخیم لایه رخمنون دارد و دارای پلوبید به اندازه ۰/۶ تا ۰/۰ میلیمتر با فراوانی ۳۵ تا ۴۵ درصد است. خردۀ‌های اسکلتی

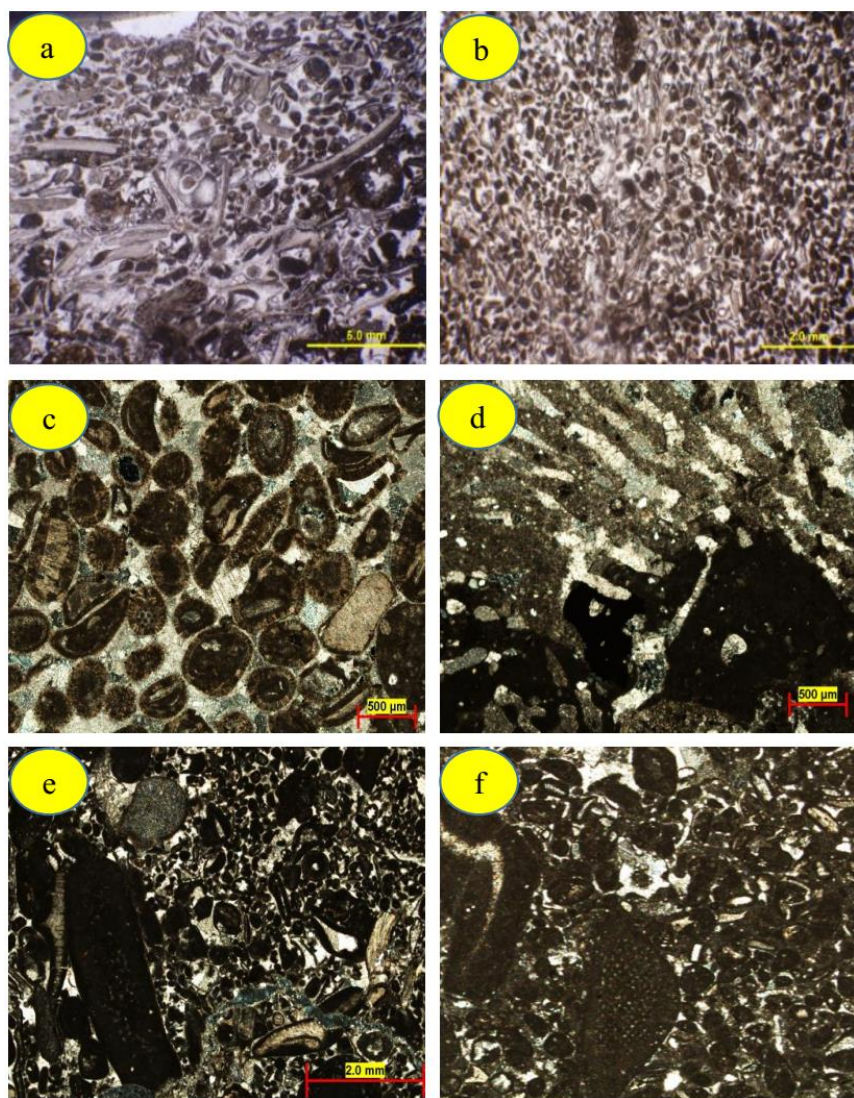
مجموعه رخساره‌ای در سمت رو به دریای باز محیط سدی نهشته شده است (Tesch et al, 2018; Sequero et al, 2019). یکی از خصوصیات این مجموعه رخساره تشکیل طبقه‌بندی مورب در ریزرخساره‌های ائیددار آن است. ریزرخساره‌های ائیددار با طبقه‌بندی مورب نشان دهنده تشکیل آنها در آب‌های گرم، کم عمق، آشفته، اشباع یا فوچ آشیاع نسبت به کربنات کلسیم است. ائیدها و سایر بیوکلستهای در ارتباط با ساختمان‌های رسوی مانند طبقه‌بندی مورب، در سدهای با انرژی بالای جزرومود تشکیل می‌شوند (Tomassetti et al, 2018). این شرایط در محیط‌های امروزی نظیر خلیج فارس و باهاما وجود دارد (Tomassetti et al, 2018) و نشان دهنده محیط‌های پر انرژی سد می‌باشد. فقدان گل آهکی، فراوانی ائیدهای مماسی و نیز لامیناسیون موازی و مورب، رسوبگذاری یک محیط پرانرژی و کم عمق نظیر پشته را نشان می‌دهد (Tomassetti et al, 2018; Tesch et al, 2018). حضور موجودات استنوهالین نظیر اکینوورم، بریوزوئر، براکیوپود و دوکفه‌ای در محیط سد به سمت دریا نشان دهنده تشکیل آنها در محیط‌های با انرژی بالاست که توسط جریانات جزرومودی به این محیط وارد شده اند (Tomassetti et al, 2018). در ریزرخساره B1 عدم وجود گل آهکی و نیز وجود زمینه‌ای که به طور کامل از سیمان تشیل شده و همچنین اندازه دانه‌های تشکیل دهنده آن بیانگر بالا بودن میزان انرژی در زمان تشکیل این ریزرخساره بوده که می‌توان محیط تشکیل آن را به عنوان یک محیط سدی یا پشته‌ای تفسیر کرد (Tomassetti et al, 2018; Tesch et al, 2018). از طرفی فراوانی موجودات استنوهالین در این ریز رخساره می‌تواند موید تشکیل آن در قسمت‌های رو به دریای سد یا پشته باشد. ریزرخساره B3 که آلوکم اصلی آن را ائید

تکه‌های ریفی دیده می‌شوند. کرینوئید، براکیوپود، دوکفه‌ای، بریوزوئر و مقادیر کمتر از فرامینیفر هزای بنتیک (۱۰ درصد) از فونای همراه این ریزرخساره هستند. مقادیر اندک ماسه کوارتزی (۱ درصد) در اندازه خیلی ریز نیز در این ریزرخساره وجود دارد. اجزا اسکلتی دارای جورشده‌گی و گردشده‌گی خوب تا متوسط است. زمینه این ریزرخساره از سیمان آهکی و مقادیر کمتر گل آهکی تشکیل شده است. مرجان‌ها به صورت انفرادی و گلنی دیده می‌شوند. فضای بین حجرات مرجان‌ها توسط کلسیت و به میزان کمتر گل آهکی به همراه بایوکلاستهای گاستروپود و اکینویید پر شده است (شکل ۴). ریزرخساره B5 (گرینستون پلوییدی اربیتولین دار): این ریزرخساره در صورت ضخیم لایه رخنمون دارد و دارای پلوئید به اندازه ۰/۳ تا ۰/۵ میلیمتر با فراوانی ۲۵ تا ۳۵ درصد است. اربیتولین نیز در حدود ۱۵ تا ۲۰ درصد و در اندازه ۰/۵ تا ۱/۵ میلیمتر در این ریزرخساره دیده می‌شود. خرده‌های اسکلتی دیگری نظیر براکیوپود و اکینوورم نیز در حدود ۵ تا ۱۱ درصد در اندازه ۱ تا ۲ میلیمتر در بین سایر اجزا دیده می‌شود. فضای بین دانه‌ها توسط سیمان اسپاریتی اشغال شده است (شکل e, f).

تفسیر مجموعه رخساره B: از خصوصیات اصلی این مجموعه رخساره‌ای نبود ماتریکس گل آهکی است. حضور گرینستون‌ها نشان دهنده حضور محیط‌های پر انرژی مانند پشته‌ها می‌باشد. در برخی ریزرخساره‌ها حضور مقادیر فراوان ائید نشان دهنده رسوبگذاری تحت شرایط کم عمق و پر انرژی همانند پشته‌ها و سدها است (Ahmad and bhat, 2006; Flugle, 2010; Khila et al, 2018; Tomassetti et al, 2018). وجود فسیل‌های مربوط به بخش‌های بالای منطقه نفوذ نور به همراه موقعیت این مجموعه رخساره‌ای، بر روی رخساره‌های دریایی باز، می‌توان نتیجه گرفت که این

سطح نسبتاً بالا و فشارهای جانبی حاصل از برخورد آب متلاطم، با پیکره مرجان است. مرجان‌هایی با این ساختار درونی در محیطی با انرژی متوسط تا نسبتاً بالا قادر به زیست بوده‌اند. این محیط به لحاظ دارا بودن اکسیژن کافی، جریان‌های تغذیه‌ای، شوری مناسب و نور فراوان، شرایط زیستی به دلیل وجود ساختهای رسوبی نظیر لایه‌بندی مورب مربوط به محیط سدی می‌باشد (Tesch et al., 2018; Sequero et al., 2019).

تشکیل می‌دهد مربوط به یک محیط سدی پرانرژی می‌باشد. ریزرساره B2 نیز عدم وجود گل آهکی و زمینه کاملاً سیمانی از ویژگی‌های کاملاً بارز می‌باشد که نشان دهنده تشیکل در یک محیط با انرژی بالاست (Tesch et al., 2018; Sequero et al., 2019). ریزرساره B4 که آلوکم اصلی آن را مرجان تشکیل می‌دهد به دلیل وجود دیس اپیمنت ضخیم، اندازه متوسط تا بزرگ مرجان‌ها یک ساختار تطبیقی برای مواجهه با جریان‌های آشفته با



شکل ۴: تصاویر میکروسکوپی ریزرساره‌های سدی: (a) گرینستون بایوکلاستی، (b) گرینستون پلوبیدی، (c) گرینستون پلوبیدی، (d) باندستون، (e) گرینستون پلوبیدی بایوکلاست دار.

پلوئید و ائید به فراوانی ۵ درصد نیز قابل رویت است. همچنین قطعات شکسته شده دو کفه‌ای و گاستروپود به فراوانی مجموع ۱۰ درصد و اندازه ۰/۸ میلیمتر نیز قابل مشاهده است (شکل e_۵, d_۵). ریزرساره C4 (مادستون): این ریزرساره که در صحراء به صورت نازک لایه رخنمون دارد به طور عمدۀ از گل آهکی حاوی دوکفه‌ای و فرامینیفر بنتیک تشکیل شده است (شکل f_۵). این ریزرساره فاقد و یا دارای کمتر از ۱۰ درصد آلوكم است.

ریزرساره C5 (پکستون پلوئیدی): این ریزرساره که در صحراء به صورت ضخیم لایه رخنمون دارد. مهم‌ترین اجزای این ریزرساره پلوئید است. پلوئیدها دارای فراوانی ۳۰ تا ۴۰ درصد در اندازه ۰/۲ تا ۰/۵ میلیمتر می‌باشد. اجزای اسکلتی این ریزرساره شامل گاستروپود، دوکفه‌ای، جلبک سبز و فرامینیفر بنتیک به عنوان اجزای فرعی (۶ تا ۱۴ درصد) می‌باشد. آلوكم‌ها در زمینه‌ای میکرایتی و در تماس با یکدیگر قرار گرفته‌اند (شکل g_۵).

ریزرساره C6 (وکستون اربیتولین دار): این ریزرساره در صحراء به صورت متوسط لایه رخنمون دارد. در این ریزرساره اربیتولین فراوان-ترین آلوكم بوده و ۱۰ تا ۱۵ درصد نمونه را تشکیل می‌دهد. اربیتولین‌ها بیشتر از انواع مخروطی و در اندازه حدود ۲ تا ۲/۵ میلیمتر هستند. سایر اجزای تشکیل دهنده این ریزرساره عبارتند از جلبک-های سبز آهکی با فراوانی ۴ درصد و اندازه ۰/۲ تا ۰/۸ میلیمتر و گاستروپود با فراوانی ۵ درصد و اندازه ۰/۰ میلیمتر می‌باشد (شکل h_۵).

تفسیر مجموعه رخساره C: زمینه گل آهکی در مجموعه رخساره‌ای C که در بعضی ریزرساره‌ها نئومورف شده است، نشان دهنده شرایط کم انرژی محیط تشکیل آنها می‌باشد. پراکندگی فرامینیفرهای بنتیک در محیط‌های عهد حاضر

مجموعه رخساره ای C: این مجموعه از ۶ ریزرساره به شرح زیر تشکیل شده است.

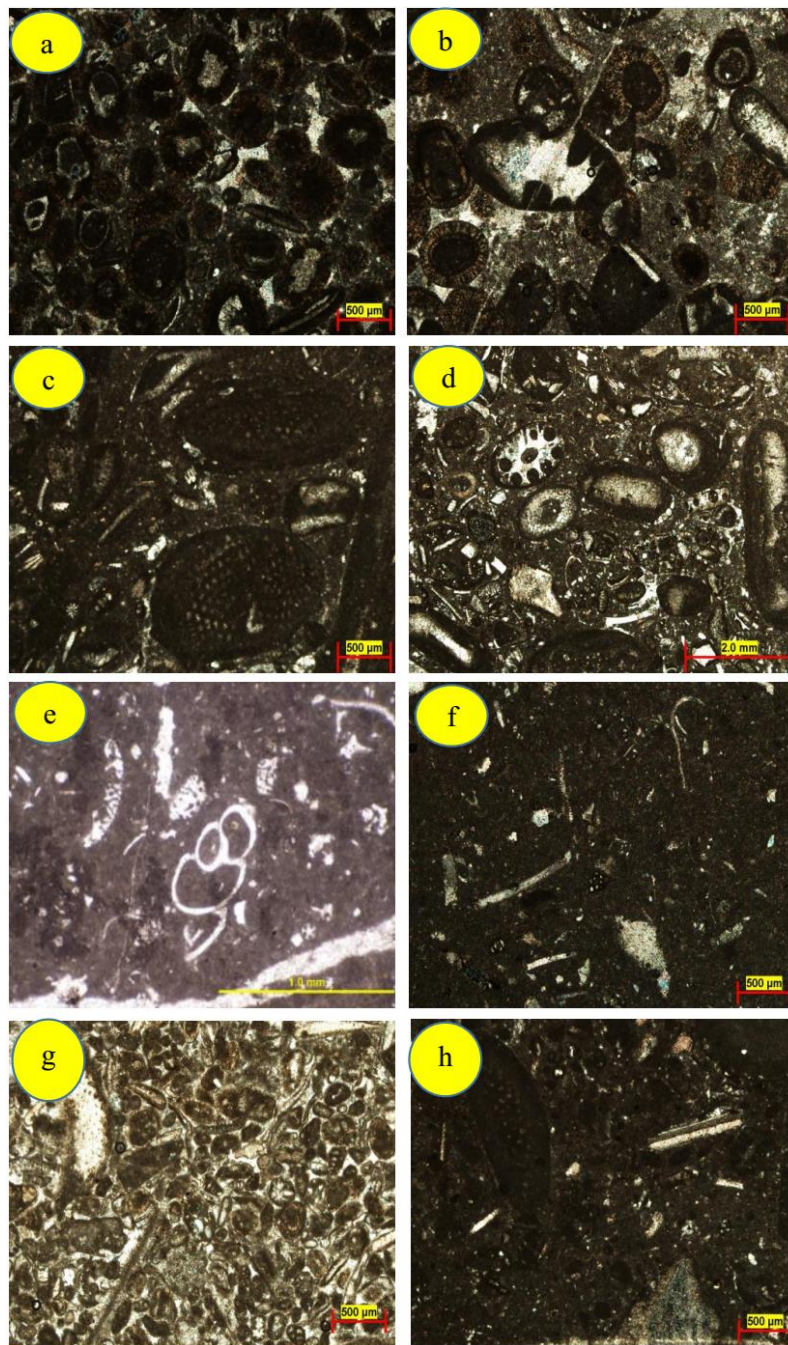
ریزرساره C1 (پکستون- وکستون ائیدی): این ریزرساره در صحراء به صورت متوسط تا ضخیم لایه رخنمون دارد. مهم‌ترین خصوصیت این ریزرساره وجود ائید با فراوانی ۱۵ تا ۴۵ درصد و اندازه ۱/۵ میلیمتر می‌باشد. فایریک ائیدها در این رخساره بیشتر از نوع شعاعی است. سایر اجزای تشکیل دهنده این ریزرساره عبارتند از جلبک-های سبز آهکی با فراوانی ۱۲ درصد و اندازه ۰/۰ تا ۰/۸ میلیمتر، گاستروپود با فراوانی ۷ درصد و اندازه ۰/۶ میلیمتر و میلیولید در اندازه ۰/۰ تا ۱ میلیمتر با فراوانی ۳ درصد می‌باشد (شکل a_۵, b_۵).

ریزرساره C2 (وکستون بایوکلاستی): این ریزرساره در صحراء به صورت متوسط لایه رخنمون دارد. در این ریزرساره اربیتولین فراوان-ترین آلوكم بوده و ۷ تا ۱۰ درصد نمونه را تشکیل می‌دهد. اربیتولین‌ها بیشتر از انواع مخروطی و در اندازه حدود ۲/۵ تا ۳ میلیمتر هستند. از دیگر اجزا موجود در این ریزرساره می‌توان به میلیولید با فراوانی ۴ تا ۶ درصد و با اندازه ۰/۰ تا ۰/۹ میلیمتر، جلبک‌های سبز با فراوانی ۳ تا ۵ درصد در اندازه ۰/۰ تا ۱ میلیمتر و همچنین خردنهای دو کفه‌ای در حدود ۲ درصد و در اندازه ۰/۵ تا ۱ میلیمتر اشاره کرد. اینترالکلست نیز با فراوانی ۵ درصد و اندازه ۱/۲۵ تا ۱/۷۵ میلیمتر در این ریزرساره دیده می‌شود. فضای بین آلوكم‌ها توسط گل آهکی پر شده است (شکل c_۵).

ریزرساره C3 (پکستون- وکستون بایوکلاستی): این ریزرساره در صحراء به صورت ضخیم لایه رخنمون دارد. در این ریزرساره غالباً قطعات شکسته شده فرامینیفرهای بنتیک به اندازه ۰/۵ میلیمتر و فراوانی ۲۲ درصد، جلبک‌های سبز به اندازه ۰/۰ میلیمتر و فراوانی ۱۰ درصد، مقادیری

عمق‌تر و محدودتر شدن محیط با شرایط انرژی کم در محیط‌های لاجونی است. تنوع جانوری کم در محیط‌های لاجون منعکس کننده رسوبگذاری تحت شرایط شوری بالا و چرخش محدود آب و ارتباط کم با محیط‌های دریابی است. در این مجموعه رخساره‌ای علاوه بر موجودات مناطق چرخش آب محدود، فسیل‌های دریابی باز مانند بربیزوئر، براکیوپود و اکینودرم دیده می‌شود که گاهی فراوانی آن‌ها به ۵ تا ۱۰ درصد نیز می‌رسد. به طور کلی محیط لاجون با تنوع پایین موجودات استنوهالین مشخص می‌شود (Ahmad and bhat, 2006; Badenas and Aurell, 2010; LI et al, 2018a, 2019; Valle et al, 2019) و حضور این فسیل‌ها در محیط‌های لاجون احتمالاً بر اثر حمل و نقل توسط فعالیت‌های طوفانی می‌باشد (Tucker, 2001). همراهی بیوکلست‌های دریابی و فسیل‌های لاجونی با اینتراکلست‌ها، رسوبگذاری در محیط‌های لاجون و در انتهای حاشیه پلت فورم را نشان می‌دهد. از طرفی فراوانی اریتولین‌های مخروطی به عنوان یک فرامینیفر بنتیک که در محیط‌های کم عمق و کم انرژی با چرخش پایین آب حضور دارند نشان دهنده تشکیل ریزخساره C6 در یک محیط لاجونی است. همچنین با وجود اینتراکلست‌های حاوی ااید و پلوئید می‌توان این ریزخساره را به قسمت‌های نزدیک به سد لاجون نسبت داد.

توسط عوامل مختلفی نظیر درجه حرارت، درجه شوری، آشفتگی آب، نفوذ نور، نرخ رسوبگذاری مواد غذایی بستر و عمق آب کنترل می‌شود (Dill et al, 2007). این فرامینیفرها در محیط‌های کم عمق و کم انرژی نظیر لاجون، پشت ریف و محیط‌های ساحلی کم عمق و نیز پائین‌تر از عمق خط اثر امواج Tomassetti et al, 2018; (Tesch et al, 2018; Sequero et al, 2019 فرامینیفرهایی از قبیل میلیولیده که از موجودات تیپیک محیط‌های کم عمق و محصور دریابی با انرژی پائین‌اند، نشان دهنده تشکیل این مجموعه رخساره‌ای در شرایط کم عمق و کم انرژی در Badenas and Aurell, 2010; (LI et al, 2018a, 2019; Valle et al, 2019 همچنین حضور جلبک‌های سبز نیز تشکیل این مجموعه رخساره را در محیط لاجونی تایید می‌نماید (Bachmann and Hirsch, 2006). حضور گاستروپودها نیز در این مجموعه رخساره، خود نشان دهنده شرایط چرخش محدود آب دریا می‌باشند. در این مجموعه رخساره علاوه بر خردکهای اسکلتی آلوكمه‌ای نظیر پلویید نیز دیده می‌شود که تقریباً دارای جورشدگی خوبی هستند. پلوییدها مؤید آب‌های کم انرژی، گرم و فوق اشباع از کربنات کلسیم با چرخش محدود می‌باشد (Badenas and Aurell, 2010; LI et al, 2018a, 2019; Valle et al, 2019). فراوانی بالای پلوئیدها حاکی از کم



شکل ۵: تصاویر میکروسکوپی ریزخسارهای لagon: (a, b) وکستون-پکستون اییدی، (c) وکستون بايوکلاستی، (d, e) وکستون-پکستون بايوکلاستی، (f) مادستون، (g) پکستون پلوییدی، (h) وکستون اریتولین دار.

که در نتیجه از دست دادن آب و یا بر اثر فعالیت‌های حفرکننده کرم‌ها و حشرات ایجاد شده‌اند به خوبی در این ریزخساره گسترش پیدا کرده است. برخی از این حفرات توسط بلورهای درشت کلسیت اسپاری پر شده‌اند. بلورهای شکل‌دار و منفرد

مجموعه رخساره‌ای D: این مجموعه شامل ۵ ریز‌رخساره به شرح زیر می‌باشد:
ریزخساره D1 (مادستون): این ریزخساره تماماً از گل‌آهکی تشکیل شده و هیچگونه اجزا اسکلتی یا غیراسکلتی در آن دیده نمی‌شود. فابریک فنستران

حفره‌ای، غالب بودن گل آهکی در ریزرساره‌های این مجموعه بیانگر خارج شدن گروه رخساره‌ای پهنه‌های جزرومدی از آب و حاکم شدن شرایط محیطی اینترتايدال بالایی تا سوپراتايدال است.

پتروفاسیس‌ها

لازم به ذکر است که این پتروفاسیس‌ها تنها در داخل برش اسطخرخی مورد شناسایی قرار گرفت. کوارتزآرنایت: فراوان ترین پتروفاسیس موجود در ماسه سنگ‌های مورد مطالعه پتروفاسیس کوارتز ارنایت است. اندازه دانه‌ها در این رخساره سنگی بین ۰/۵ تا ۱/۲۵ میلیمتر در تغییر بوده و عمدتاً دارای جور شدگی خوب و نیمه گرد شده تا گرد شده است. بنابراین از لحاظ ضریب بلوغ بافتی در محدوده فوق بالغ تا بالغ قرار می‌گیرند. کوارتز تک بلورین با خاموشی عمدتاً مستقیم تا موجی فراوان-ترین دانه در این پتروفاسیس است. در اکثر نمونه‌ها فراوانی این ذرات بیش از ۹۷ درصد از کل دانه‌ها است که با انواع مرزهای مماسی، محدب - مقعر و مضرس در کنار یکدیگر قرار دارند. کوارتزهای چند بلوری نیز به میزان بسیار جزئی (کمتر از ۱ درصد) در این پتروفاسیس شناسایی شده است. این ماسه سنگ‌ها حاوی سیمان‌های مختلف سیلیسی و کربناته هستند. دانه‌های کوارتز اغلب به صورت منوکریستالین و دارای خاموشی مستقیم تا موجی و دارای ادخال‌هایی (Inclusion) از تورمالین هستند (شکل c۶).

Fine to medium grain, super mature to mature, carbonate and silica cement, tourmaline quartzarenite.

ساب آرکوز: دانه‌های کوارتز اکثرا منوکریستالین بوده که دارای خاموشی مستقیم تا موجی هستند. فراوانی این کانی بین ۶۵ تا ۹۰ درصد در تغییر است. فلدسپات‌ها اکثرا شامل میکروکلین، پرتیت، آلبیت و ارتوکلاز هستند که درصد فلدسپات‌های پتاسیم‌دار بسیار بالاتر از پلازیوکلاز است.

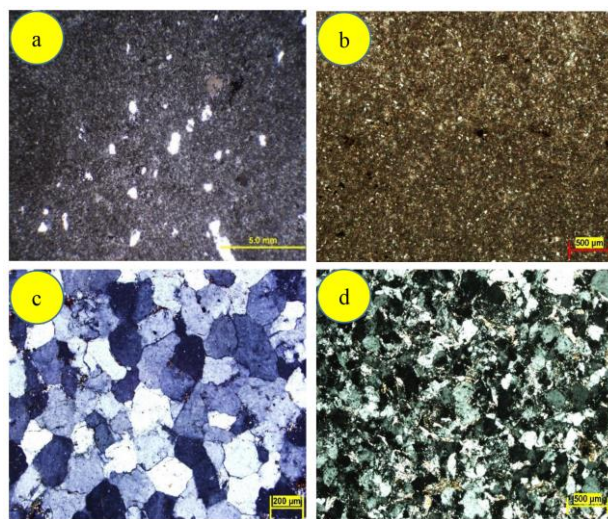
دولومیت با فراوانی ۱۰ تا ۱۳ درصد در اندازه‌های ریز تا متوسط به همراه کانی‌های تبخیری بهطور پراکنده در این ریز رخساره دیده می‌شود (شکل a۶).

ریزرساره D2 (دولومادستون ماسه‌ای): این ریزرساره در صحراء به صورت تناوبی از لایه‌بندی نازک تا متوسط رخنمون دارد که بیشتر در قسمت‌های پایین برش‌ها دیده می‌شوند. این ریزرساره حاوی دولومیت‌های ریزبلور، هم اندازه و شکل دار در اندازه ۲۰ تا ۵۰ میکرون است. حفرات چشم پرندۀ‌ای نیز فراوان دیده می‌شود. همچنین این ریزرساره حاوی ۱۰ تا ۱۲ درصد کوارتز در اندازه ماسه ریز تا متوسط با جورشدگی ضعیف است که بیشتر زاویهدار هستند (شکل b۶).

تفسیر مجموعه رخساره D: در این مجموعه رخساره‌ای گل آهکی به فراوانی یافت شده و ذرات آواری در حد ماسه‌ریز و سیلت به چشم می‌خورد. در این مجموعه رخساره‌ای رسوبگذاری رخساره‌های گلی به همراه قطعات اسکلتی و غیر اسکلتی دانه‌ریز صورت گرفته که نشان دهنده محیط‌های با انرژی پایین و آب‌های آرام می‌باشد. حضور رخساره دولومادستون در این مجموعه رخساره می‌تواند نشان دهنده تشکیل در یک محیط کم عمق که در آن شرایط تبخیر حکم فرماست، باشد. کمبود یا نبود فسیل در این مجموعه رخساره‌ای نشان دهنده عدم شرایط زیست مناسب و چرخش محدود آب است (Alsharhan and Kendall, 2003). گل آهکی مخلوط با ذرات آواری فراوان مجموعه فونای پایین و ارتباط نزدیک با میان لایه‌های آواری نزدیک ساحل، نشان دهنده تشکیل گل آهکی در یک موقعیت شلف دریایی کم عمق (بالای جزرومدی) در طی پایین آمدن سطح دریا می‌باشد. شواهدی از قبیل گسترش دولومیت‌های ریزبلور، فقدان دانه و فابریک چشم پرندۀ‌ای و

۱۰ درصد از کل سنگ نیز می‌رسد. از کانی‌های فرعی دیگر می‌توان به زیرکان، آپاتیت و ندرتاً تورمالین اشاره کرد. اندازه دانه‌ها در این رخساره سنگی بین ۱/۰ تا ۱۲/۰ میلیمتر در تغییر بوده و عمدتاً دارای جور شدگی بد و زاویه‌دار تا نیمه گرد شده است. سیمان در این ماسه سنگ‌ها اکثراً دولومیتی - هماتیتی است. ماسه سنگ‌ها در این پتروفاسیس از نظر مچوریتی بافتی اغلب ساب مچور هستند (شکل ۶).

فلدسبات‌ها به دو صورت تازه و دگرسان شده یافته می‌شوند که در مواردی کاملاً از بین رفته و به زمینه رسی تبدیل شده‌اند. به طور کلی این ذرات فراوانی بین ۵ تا ۲۵ درصد را شامل شده که به طور متوسط در حدود ۱۲ درصد می‌باشند. فراوانی خرد سنگ-ها در این پتروفاسیس حداقل به ۷ درصد بالغ شده که به طور میانگین ۴ درصد می‌رسد. اکسید آهن (هماتیت آواری) مهم‌ترین کانی فرعی در این پتروفاسیس به شمار می‌رود که گاهی مقادیر آن به



شکل ۶: تصاویر میکروسکوپی رخساره‌های پهنه جزو مردم: (a) مادستون، (b) دولومادستون ماسه‌ای و کستون، (c) کوارتزارنایت، (d) ساب ارکوز.

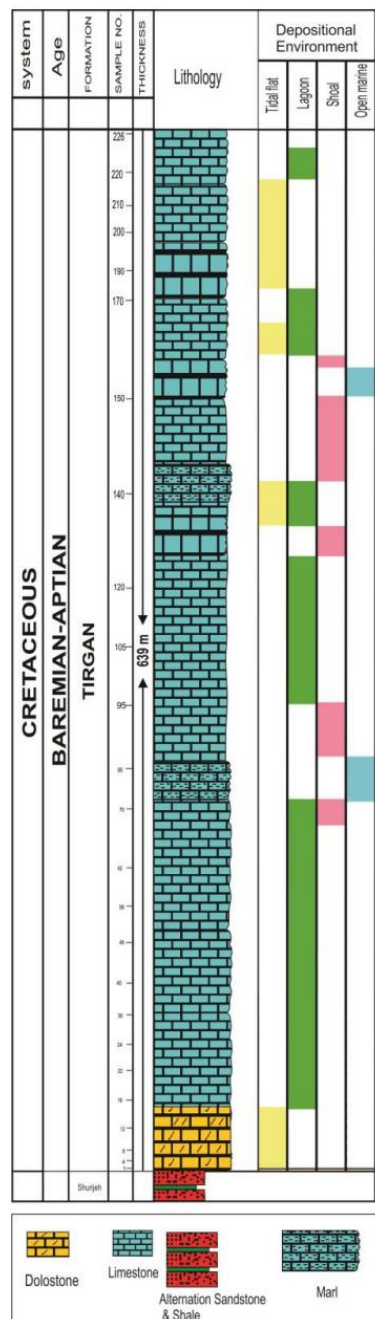
آزمایشگاهی و ریزرخساره‌های شناسایی شده و همچنین با مقایسه تغییرات عمودی و جانبی ریزرخساره‌های مختلف در توالی مطالعه شده مدل رسوبی نهشته‌های نواحی مورد مطالعه ارائه شده است. لذا با توجه به شواهد موجود، اعم از عدم حضور ریزرخساره‌های مربوط به شکستگی در شیب حوضه و همچنین تبدیل تدریجی ریزرخساره‌ها به هم‌دیگر و وجود ریزرخساره‌های آبهای کم‌عمق می‌توان محیط رسوبگذاری رسوبات کربناته سازند تیرگان را در ناحیه مورد مطالعه به فرم یک پلاتفرم از نوع رمپ از نوع هموکلین (شکل ۱۰) در نظر گرفت (Tucker and Wright, 1990; Flugel, 1990;

مدل رسوبی سازند تیرگان

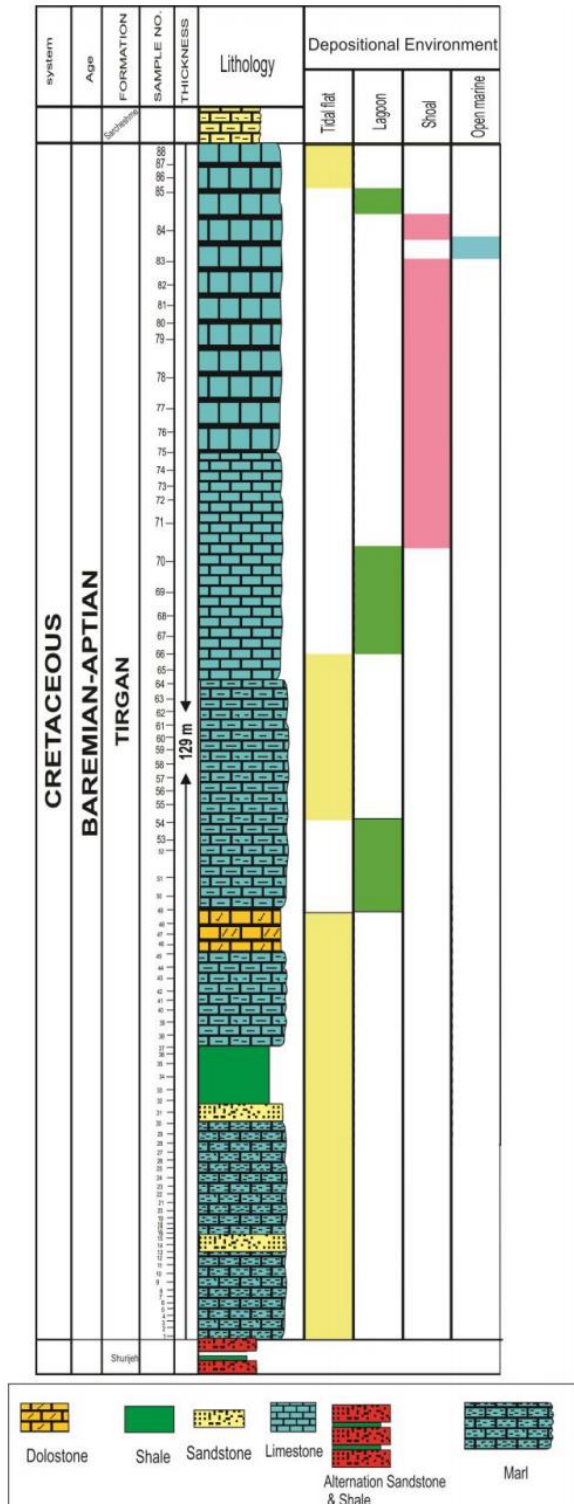
اصلأً با توجه به مقایسه محیط‌های عهد حاضر و قدیمه (Flugle, 1982) و با استفاده از قانون تطبیق رخساره‌ها (Walter, 1983) و نیز مدل‌های مختلف رسوبی که توسط افراد مختلفی از جمله آروین (Wilson, 1975)، ویلسون (Irwin, 1965)، فلوگل (Read, 1985)، رید (Flugle, 1982)، کاروزی (Carozzi, 1989)، تاکر و رایت (Tucker and Wright, 1990)، و اینسل (Einsele, 2000)، ارائه شده می‌توان رسوبات ناحیه مورد مطالعه را تعبیر و تفسیر نموده و مدل رسوبی آن را پیشنهاد نمود. در این بخش با توجه به مطالعات صحراوی و

(مانند برش اسطرخی) گسترش دارند و به سمت غرب ناحیه، به تدریج حذف شده و به آهک‌های نسبتاً عمیق و رخساره‌های دریایی باز تغییر رخساره می‌دهند (مانند برش‌های جوزک و زاو) (شکل ۷، ۸، ۹ و ۱۰).

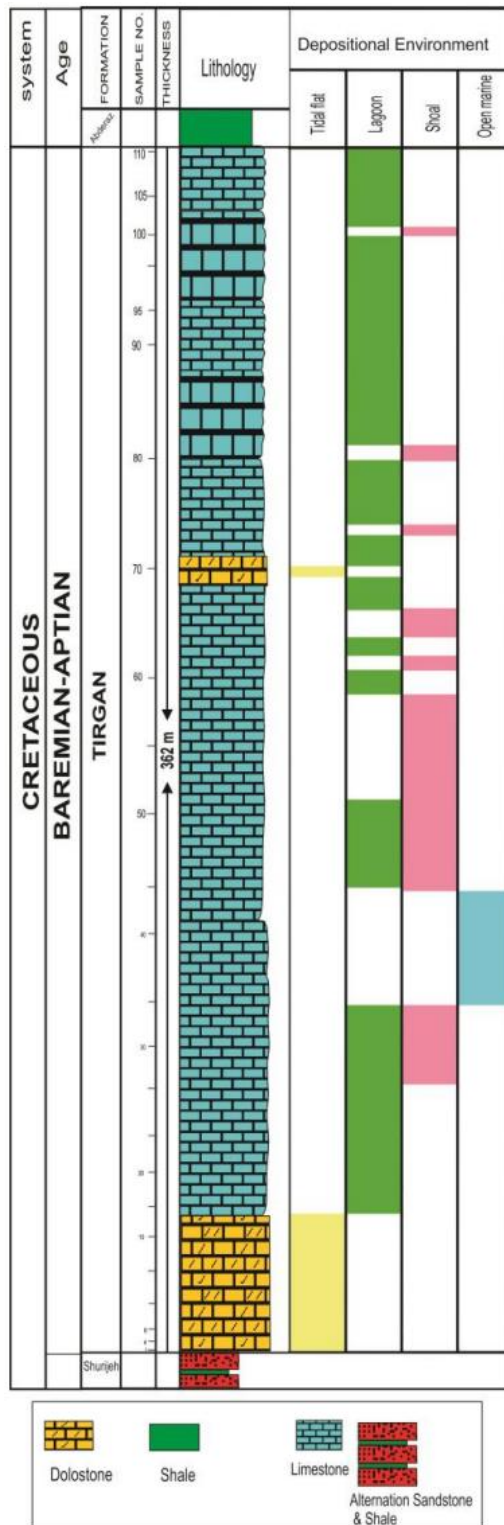
Einsele, 2000) این نوع رمپ شامل ریزرخساره‌های پهنۀ جزر و مدی، لاجونی، سدی و دریایی باز می‌باشد. در این مدل رسوبی، در بخش‌های ساحلی، رخساره‌های آواری با منشاء قاره‌ای شامل کوارتز‌آرنايت و ساب آرکوز دیده می‌شود که عمدتاً در بخش‌های شرقی ناحیه مورد مطالعه



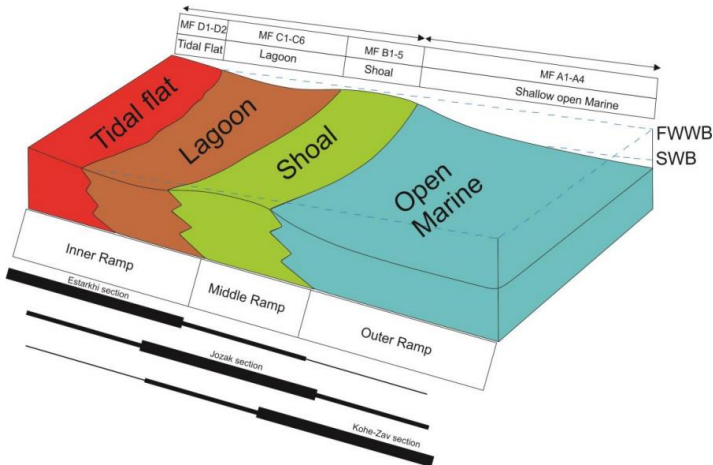
شکل ۷: ستون چینه‌شناسی و محیط رسوبی سازند تیرگان در برش کوه زاو، غرب حوضه رسوبی کپه داغ



شکل ۸: ستون چینه‌شناسی و محیط رسوبی سازند تیرگان در برش اسطرخی، غرب حوضه رسوبی کپه داغ



شکل ۹: ستون چینه‌شناسی و محیط رسوی سازند تیرگان در برش جوزک، غرب حوضه رسوی کپه داغ



شکل ۱۰: مدل رسوی سازند تیرگان در ناحیه مورد مطالعه که محل تشکیل ریزرساره‌ها در رمپ کربناته را نشان می‌دهد.

دارد. تغییرات عمودی و جانبی رخساره‌ها و مقایسه آنها با محیط‌های رسوی قدیمه و عهد حاضر و عدم وجود ریف‌های سدی، آنکوئید و دانه‌های اگرگات (که خاص شلف‌های لبه‌دار هستند) و از طرفی تبدیل تدریجی رخساره‌ها به هم و وجود پهنه‌های وسیع جزر و مدی نشان دهنده ته نشست سازند تیرگان بر روی یک رمپ هموکلینال است.

سپاسگزاری

بر خود لازم می‌دانیم از همکاری جناب آقای دکتر میثم شفیعی اردستانی پژوهشگر پسا دکتری دانشگاه فردوسی مشهد که ما را در ویراستاری و بررسی چکیده انگلیسی مقاله یاری رساندند کمال تشکر و قدردانی را داریم.

-هاشمی کاخکی، ن.، ۱۳۸۵. تحول زمین‌شناسی و بررسی چینه‌شناسی و میکروفاسیس اورگونین سازند تیرگان در حوضه کپه داغ، رساله کارشناسی - ارشد چینه‌شناسی و فسیل‌شناسی، دانشگاه آزاد اسلامی، ۱۲۰ ص.

نتیجه‌گیری

سازند تیرگان در برش‌های مطالعه شده به‌طور عمده از سنگ آهک تشکیل شده است. براساس نوع و میزان فراوانی اجزای تشکیل‌دهنده، سنگ‌های کربناته به ۴ مجموعه رخساره‌ای (شامل ۱۷ ریزرساره) و سنگ‌های سیلیسی آواری به ۲ پتروفاسیس تفکیک شده‌اند. مجموعه رخساره‌های کربناته از طرف دریا به سمت خشکی در کمربنده‌های رخساره‌ای دریای باز، سد، لاغون و جزرومدی بر جای گذاشته شده‌اند. تغییرات جانبی ریزرساره‌ها از برش اسطرخی به سمت برش زاو نشان از تغییر محیط رسبودگاری و مناسب شدن شرایط برای ته نشست رسوبات کربناته عمیق در اثر کاهش ورود رسوبات آواری و عمیق شدن حوضه

منابع

-مرتضوی مهریزی، م.، ۱۳۸۶. چینه‌نگاری سکانسی سازندهای شوریجه و تیرگان (کرتاسه تحتانی) در ناحیه سفید سنگ (شمال شرق فریمان). رساله کارشناسی ارشد رسوب‌شناسی، دانشگاه فردوسی مشهد، ۳۱۰ ص.

- Abdel-Fattah, Z.A., Kora, M.A. and Raafat, S.A., 2018. Depositional environments and sequence stratigraphy of a mixed siliciclastic-carbonate ramp: An example from the cenomanian to Turonian Galala Formation in the northern Eastern Desert, Egypt: Journal of African Earth Sciences, v. 147, p. 352-373.
- Adachi, N., Ezaki, Y. and Liu, J., 2004. The origins of peloids immediately after the endpermian extinction, Guizhou Province, South China: Journal of Sedimentary Geology, v. 164, p. 161-178.
- Afshar-Harb, A., 1979. The stratigraphy, tectonics and petroleum geology of the Kopet Dagh region, northern Iran. Unpublished PhD thesis, Imperial College of Science and Technology, London, 316 p.
- Ahmad, A.H.M. and Bhat, G.M., 2006. Petrofacies, provenance and diagenesis of the dhosa sandstone member (Chari Formation) at Ler, Kachchh sub-basin, Western India: Journal of Asian Earth Science, v. 27, p. 857-872.
- Alavi, M., Vaziri, H., Seyed-Emame, K. and Lasemi, Y., 1997. The Triassic and associated rocks of the Aghdarband areas in central and northeastern Iran as remnant of the southern Turanian active continental margin: GSA Bull, v. 109, p. 1563-1575.
- Allen, P.A. and Allen, J.R., 2013. Basin Analysis: Principles and Application to Petroleum Play Assessment: Wiley-Blackwell, 655 p.
- Alsharhan, A.S. and Kendall, C.G.S.T.C., 2003. Holocene coastal carbonates and evaporites of the southern Arabian Gulf and their ancient analogues: Earth Science Review, v. 61, p. 191-243.
- Bachmann, M. and Hirsch, F., 2006. Lower Cretaceous carbonate platform of the eastern Levant (Galilee and the Golani Heights): stratigraphy and second-order sealevel change: Cretaceous Research, v. 27, p. 487-512.
- Bádenas, B. and Aurell, M., 2010. Facies models of a shallow-water carbonate ramp based on distribution of non-skeletal grains (Kimmeridgian, Spain): Facies, v. 56, p. 89-110.
- Betzler, C., Pawellek, T., Abdullah, M. and Kossler, A., 2006. Facies and stratigraphic architecture of the Korallenoolith Formation in North Germany (Lauensteiner Pass, Ith Mountaines): Journal of Sedimentary Geology, v. 194, p. 61-75.
- Brandano, M., Morsilli, M., Parente, M., Vannucci, G., Bosellini, F.R. and Mateu-Vicens, G., 2010. Rhodolith-rich lithofacies of the Porto Badisco calcarenite (upper Chattian, Salento, Apulia, southern Italy): Italian Journal of Geosciences, v. 129, p. 119-131.
- Buryakovskiy, L.A., Chilinger, G.V. and Aminzadeh, F., 2001. Petroleum geology of the South Caspian Basin: Gulf Professional Publishing USA, 442 p.
- Cadjenovic, D., Kilibarda, Z. and Radulovic, N., 2008. Triassic to Late Jurassic evolution of the Adriatic carbonate platform and Budva Basin, Southern Montenegro: Journal of Sedimentary Geology, v. 24, p. 1-17.
- Carozzi, A.V., 1989. Carbonate Rock Depositional Modle: A Microfacies Approach: Prentice-Hall, 604 p.
- Dickson, J.A.D., 1966. Carbonate identification and genesis as revealed by staining: Journal of Sedimentary Petrology, v. 36, p. 441-505.
- Dill, H.G., Khishigsuren, S., Melcher, F., Bulgamaa, J., Bolormaa, Kh., Botz, R. and Schwarz-Schampera, U., 2007. Facies related diagenetic alteration in acustrinedeltaic red beds of the Paleogene Ergeliin Zoo Formation

- (Erdene Sum area, S. Gobi, Mongolia): Journal of Sedimentary Geology, v. 181, p. 1-24.
- Dunham, R.J., 1962. Classification of carbonate rocks according to depositional textures. In: Ham WE (ed) Classification of carbonate rocks. American Association of Petroleum Geologists, Memoir, v. 1, p. 108-121.
- Einsele, G., 2000. Sedimentary Basin Evolution, Facies, and Sediment Budget (2 ndedition): Springer-Verlag, 292 p.
- Flügel, E., 1982. Microfacies Analysis of Limestone: Berlin, Springer-Velag, 663 p.
- Flügel, E., 2010. Microfacies of carbonate Rocks Analysis Interpretation and Application: Springer-Verlog, 976 p.
- Folk, R.L., 1965. Some aspects of recrystallization in ancient limestones. In: Dolomitization and limestone diagenesis (Ed. By L.C., Pray and R.C., Murray): Society of Economic Paleontologists and Mineralogists, v. 13, p. 14-48.
- Garzanti, E. and Gaetani, M., 2002. Unroofing history of late Paleozoic magmatic arcs within the Turan Plate (Tuarkyr, Turkmenistan): Journal of Sedimentary Geology, v. 151, p. 67-87.
- Guo, C., Chen, D., Song, Y., Zhou, X., Ding, Y. and Zhang, G., 2018. Depositional environments and cyclicity of the Early Ordovician carbonate ramp in the western Tarim Basin (NW China): Journal of Asian Earth Sciences, v. 158, p. 29-48.
- Heldt, M., Bachmann, M. and Lehmann, J., 2008. Microfacies, biostratigraphy and geochemistry of the hemipelagic BarremianAptian in north central Tunisia: Influence of the OAE 1a on the southern Tethys margin: Palaeos, v. 261, p. 246-260.
- Irwin, M.L., 1965. General theory of epeiric clear water sedimentation: American Association of Petroleum Geologists Bulletin, v. 49, p. 445-459.
- Khila, A., Ouaja, M. and Zargouni, F., 2018. Coniacian carbonate-conglomerate event on carbonate ramps from the Northern Chotts ranges, South Tunisia: facies geometry and tectono-sedimentary evolution: Arabian Journal of Geosciences, <https://doi.org/10.1007/s12517-018-3388-7>.
- Li, M., Song, H.J., Tian, L., Woods, A.D., Dai, X. and Song, H.Y., 2018a. Lower Triassic deep sea carbonate precipitates from South Tibet, China: Sedimentary Geology, v. 376, p. 60-71.
- Li, M., Song, H.J., Tian, L., Woods, A.D., Dai, X. and Wignall, P.B., 2019. Facies and evolution of the carbonate factory during the Permian-Triassic crisis in South Tibet, China: Sedimentology: <https://doi.org/10.1111/sed.12619>.
- Marangon, A., Gattolin, G., Della Porta, G. and Preto, N., 2011. The Latemar: A flattopped, steep fronted platform dominated by microbialites and synsedimentary cements: Sedimentary Geology, v. 240, p. 97-114.
- Moussavi-Harami, R. and Brenner, R.L., 1990. Lower Cretaceous (Neocomian) fluvial deposits in eastern Kopet- Dagh Basin, northeastern Iran: Cretaceous Research, v. 11, p. 163- 174.
- Read, J.F., 1982. Carbonate margins of passive (extensional) continental margins types, characteristics and evolution: Tectonophysics, v. 81, p. 195-212.
- Sequero, C., Bádenas, B. and Aurell, M., 2018. Facies mosaic in the inner areas of a shallow carbonate ramp (Upper Jurassic, Higuerales Fm, NE Spain): Facies, <https://doi.org/10.1007/s10347-018-0521-8>.
- Slootman, A., Cartigny, M.J.B., Boer, P.L. and Moscariello, A., 2016.

- Depositional character of submarine dunes on a Pleistocene distally steepened carbonate ramp (Favignana Island, Italy), Marine and River Dune Dynamics – MARID V – 4 & 5 April 2016 – North Wales, UK.
- Tesch, P., Reece, R.S., Pope, M.C. and Markello, J.R., 2018. Quantification of architectural variability and controls in an Upper Oligocene to Lower Miocene carbonate ramp, Browse Basin, Australia: *Marine and Petroleum Geology*, v. 91, p. 432-454.
- Tomassetti, L., Petracchini, L., Brandano, M., Trippetta, F. and Tomassi, A., 2018. Modeling lateral facies heterogeneity of an upper Oligocene carbonate ramp (Salento, southern Italy): *Marine and Petroleum Geology*, v. 96, p. 254-270.
- Tucker, M.E., 2001. *Sedimentary Petrology: an introduction to the origin of sedimentary rocks*: Blackwell, Scientific Publication, London, 260 p.
- Tucker, M.E. and Wright, V.P., 1990. *Carbonate Sedimentology*: Blackwell, 482 p.
- Valle, B., Bó, P.F.D., Mendes, M., Favoreto, J., Rigueti, A.L., Borghi, L. and Silva, R., 2019. Stratigraphic evolution of a Brazilian carbonate platform during the Cretaceous: the late Albian–early Turonian of the Sergipe–Alagoas Bas: Facies, <https://doi.org/10.1007/s10347-018-0543-2>.
- Walter, L.M. and Wilmsen, M., 2003. Sequence stratigraphy and palaeoceanography of the Cenomanian stage in northern Germany: *Cretaceous Research*, v. 24, p. 525-568.
- Wilson, J.L., 1975. *Carbonate Facies in Geological History*: Springer -Verlag, Berlin, 471 p.